

Звук в тоннеле

Тоннель является частью автомобильной дороги. Однако условия движения автомобилей в тоннеле отличаются от условий движения на открытой местности, что связано с определенными ограничениями геометрических характеристик трассы.

Одной из основных особенностей движения автотранспортных средств в тоннелях является повышенный шум по сравнению с шумом автомобиля на открытой местности.

Уровень шума в тоннеле, как правило, выше, чем на поверхности за счет многократного отражения генерируемых в тоннеле звуковых волн от стен и перекрытия конструкции. Шумозащитные меры в основном способствуют звукоизоляции тоннеля, но не устраняют повышенный уровень шума внутри него.

Рассмотрим распространение широкополосного акустического сигнала в волноводе (трубе, тоннеле) прямоугольного сечения с размерами $a \times b$ и абсолютно жёсткими стенками. Выберем систему координат так, чтобы две стенки волновода совпадали с координатными плоскостями $x = 0$ и $y = 0$. В трубах прямоугольного сечения могут распространяться различные нормальные волны, разрешённые дисперсионными уравнениями труб. В зависимости от способа возбуждения реализуются только некоторые из возможных нормальных волн.

Предположим, что в некотором сечении прямоугольной трубы имеется излучатель (мембрана, пластина, слой воздуха и т.п.), т.е. какой-либо источник, колеблющийся под действием внешней силы так, что нормальная колебательная скорость его поверхности определяется некоторой комплексной функцией от координат x, y и временем t :

$$U(x, y, t) = u_0(x, y) \exp[-j\varphi(x, y)] S(t). \quad (1)$$

При соблюдении известных условий, налагаемых на временную зависимость волны $u(x, y, t)$, можно представить волну в виде суперпозиции гармонических волн различных частот путём разложения по Фурье функции u . Непериодическая функция разлагается в интеграл Фурье по частоте ω

$$U(x, y, t) = \int_{-\infty}^{\infty} u(x, y, \omega) e^{-j\omega t} d\omega, \quad (2)$$

где
$$u(x, y, \omega) = \frac{1}{2\pi} \int_{-\infty}^{\infty} U(x, y, t) e^{j\omega t} dt. \quad (3)$$

Функцию $u(x, y, \omega)$ называют спектральной плотностью амплитуды разложения.

Рассмотрим случай, когда в сечении трубы имеет место амплитудное распределение колебаний $F = v(x, y)$. Звуковое давление в трубе для гармонического процесса вида $\sim \exp(j\omega t)$ определяется формулами (см., например, [1, 2]):

$$p(x, y, z, \omega) = \sum_{m,n} \frac{4\omega \rho \varepsilon_m \varepsilon_n}{ab k_{mn}} I_{mn} \cos \frac{\pi m x}{a} \cos \frac{\pi n y}{b} e^{-j k_{mn} z}, \quad (4)$$

где

$$\varepsilon_m = \frac{1}{2} \text{ при } m = 0 \text{ и } 1 \text{ при } m \neq 0; \quad \varepsilon_n = \frac{1}{2} \text{ при } n = 0 \text{ и } 1 \text{ при } n \neq 0,$$

$$I_{mn} = \int_0^a \int_0^b v(x, y) \cos \frac{\pi m x}{a} \cos \frac{\pi n y}{b} dx dy, \quad (5)$$

$$k_{mn} = \frac{1}{c} \sqrt{\omega^2 - \omega_{mn}^2}, \quad (6)$$

$$\omega_{mn} = \pi c \sqrt{\frac{m^2}{a^2} + \frac{n^2}{b^2}}, \quad (7)$$

c – скорость звука.

Если источник можно считать точечным с единичной амплитудой возбуждения и координатами x_0 и y_0 , то функцию $F = v(x,y)$ запишем в виде дельта-функции:

$$F = v(x,y) = \delta(x - x_0) \delta(y - y_0). \quad (8)$$

Интеграл (5) (функция возбуждения нормальной волны) будет равен

$$I_{mn} = \cos \frac{\pi m x_0}{a} \cos \frac{\pi n y_0}{b}. \quad (9)$$

Выражение (4) для спектральной составляющей $p(x, y, z, \omega)$ примет вид

$$p(x, y, z, \omega) = \frac{4 \rho \omega}{ab} \sum_{m,n} \frac{\varepsilon_m \varepsilon_n}{k_{mn}} \cos \frac{\pi m x_0}{a} \cos \frac{\pi m x}{a} \cos \frac{\pi n y_0}{b} \cos \frac{\pi n y}{b} e^{-j k_{mn} (z - z_0)}, \quad (10)$$

где z_0 – координата источника.

Если исходный спектр излучаемого сигнала в свободном однородном пространстве равен $S(\omega)$, то его изменение с расстоянием z будет выражаться формулой

$$P(x, y, z, \omega) = S(\omega) \cdot p(x, y, z, \omega). \quad (11)$$

В качестве примера приведём расчёт изменения спектра сигнала, исходная спектральная плотность которого является постоянной величиной $S(\omega) = \text{const} = 1$ в диапазоне частот от ω_n до ω_b . При этом предполагаем, что приёмный микрофон установлен в точке с координатами $x = 0, y = 0, z = 0$, а источник сигнала передвигается вдоль оси z по середине тоннеля $x_0 = a/2$ и $y_0 = b/2$. Для простоты полагаем, что скорость передвижения не слишком велика, и можно пренебречь доплеровским сдвигом частоты принимаемого сигнала.

В этом случае спектральная плотность (10) будет равна

$$p(x, y, z, \omega) = \frac{4 \rho \omega}{ab} \sum_{m,n} \frac{\varepsilon_m \varepsilon_n}{k_{mn}} \cos \frac{\pi m}{2} \cos \frac{\pi n}{2} e^{j k_{mn} |z_0|}, \quad (12)$$

Из выражения (12) видно, что нечётные моды ($m, n = 1, 3, 5, \dots$) выпадают из рассмотрения, а вместо косинусов под знаком суммы будут множители $(-1)^{m/2}$ и $(-1)^{n/2}$, где $m, n = 0, 2, 4, \dots$

Запишем окончательное выражение для спектральной плотности $p(x, y, z, \omega)$, опустив множитель $\frac{4 \rho c}{ab}$:

$$p(x, y, z, \omega) = \omega \sum_{m,n} \frac{\varepsilon_m \varepsilon_n}{\sqrt{\omega^2 - \omega_{mn}^2}} (-1)^{\frac{m+n}{2}} e^{jk_{mn}|z_0|} ; \quad m, n = 0, 2, 4, \dots \quad (13)$$

или

$$p(x, y, z, f) = \sum_{m,n} \frac{\varepsilon_m \varepsilon_n}{\sqrt{1 - \left(\frac{f_{mn}}{f}\right)^2}} (-1)^{\frac{m+n}{2}} e^{jk_{mn}|z_0|} ; \quad m, n = 0, 2, 4, \dots \quad (14)$$

где f – частота в Гц;

$$f_{mn} = \frac{c}{2} \sqrt{\frac{m^2}{a^2} + \frac{n^2}{b^2}} ; \quad k_{mn} = \frac{2\pi f}{c} \sqrt{1 - \left(\frac{f_{mn}}{f}\right)^2}$$

При частоте ω , меньшей критической, т.е. при $\omega < \omega_{mn}$ волновое число k_{mn} будет мнимым, и распространения нормальной моды номера mn вдоль оси z не будет, а будет только экспоненциально затухающий спад поля по этой оси.

Предположим, что размеры тоннеля равны 15 м по ширине и 6 м по высоте, скорость звука = 330 м/с. Тогда

$$f_{00} = 0; \quad k_{00} = 2\pi f/c;$$

$$f_{20} = 11 \text{ Гц}; \quad k_{20} = \frac{2\pi f}{c} \sqrt{1 - \left(\frac{11}{f}\right)^2} ;$$

$$f_{02} = 27,5 \text{ Гц}; \quad k_{02} = \frac{2\pi f}{c} \sqrt{1 - \left(\frac{27,5}{f}\right)^2} ;$$

$$f_{22} = 59,2 \text{ Гц}; \quad k_{02} = \frac{2\pi f}{c} \sqrt{1 - \left(\frac{59,2}{f}\right)^2} ;$$

и т.д.

Подставив эти значения в формулу (14), получим изменение спектральной плотности исходного сигнала с расстоянием для данного тоннеля.

Ниже приведены рассчитанные спектры на разных расстояниях от источника. Учтено поглощение звука в воздухе и расхождение нормальной волны с расстоянием.

Литература

1. М.А.Исакович. Общая акустика. – «Наука», М., 1973.
2. Л.Ф.Лепендин. Акустика. – «Высшая школа», М., 1978.

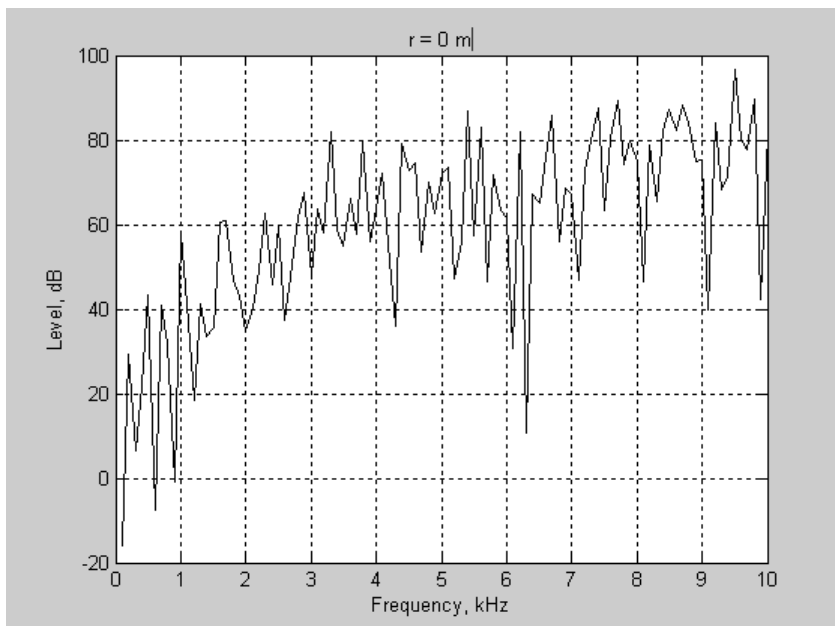


Рис. 1. Расстояние 0 м (напротив источника)

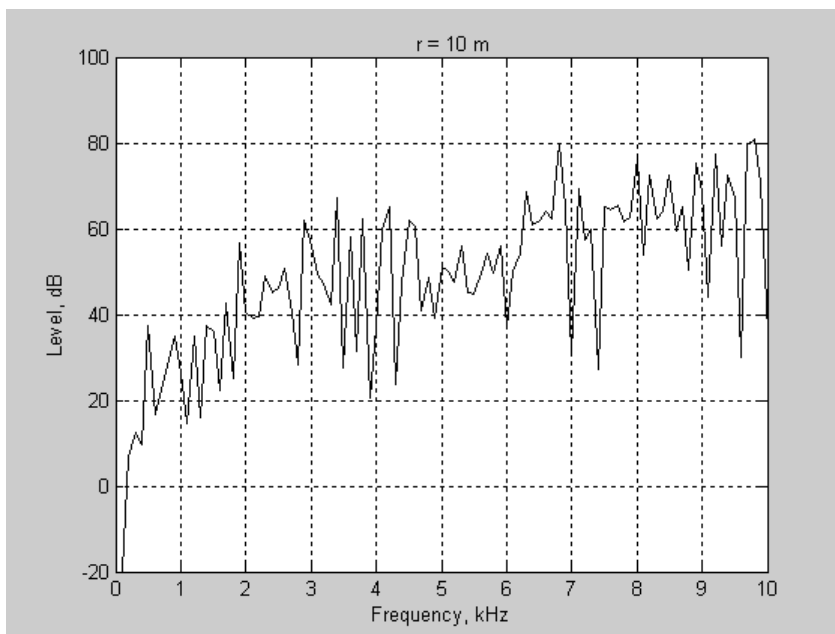


Рис. 2. Расстояние 10 м

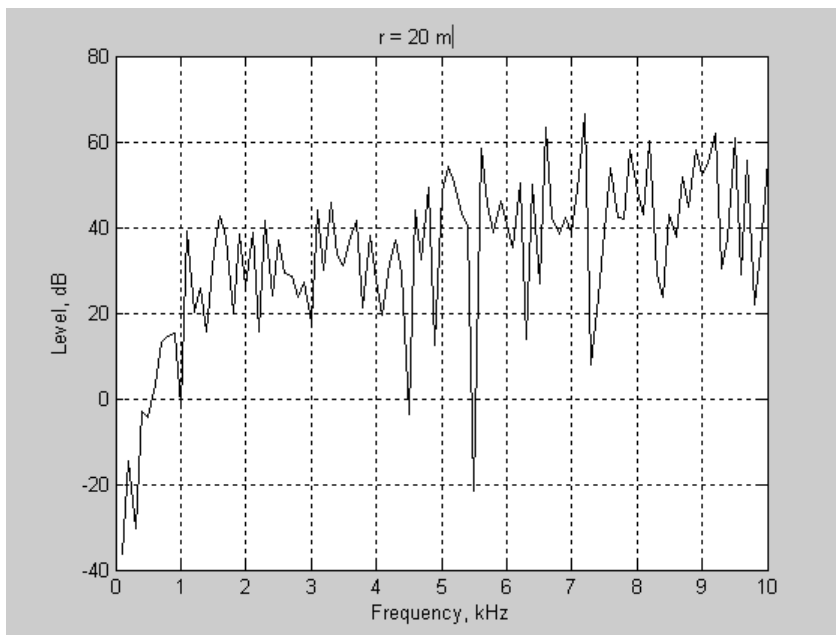


Рис.3. Расстояние 20 м

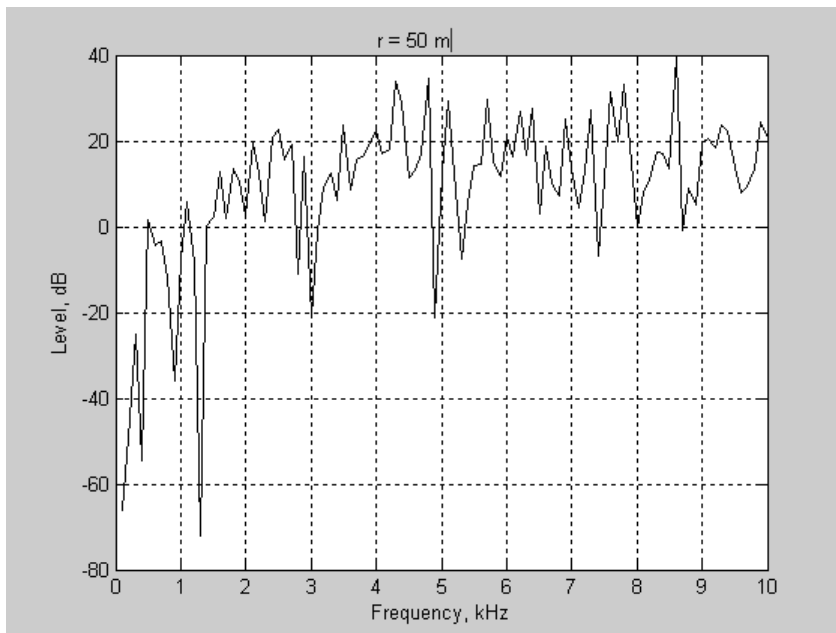


Рис. 4. Расстояние 50 м

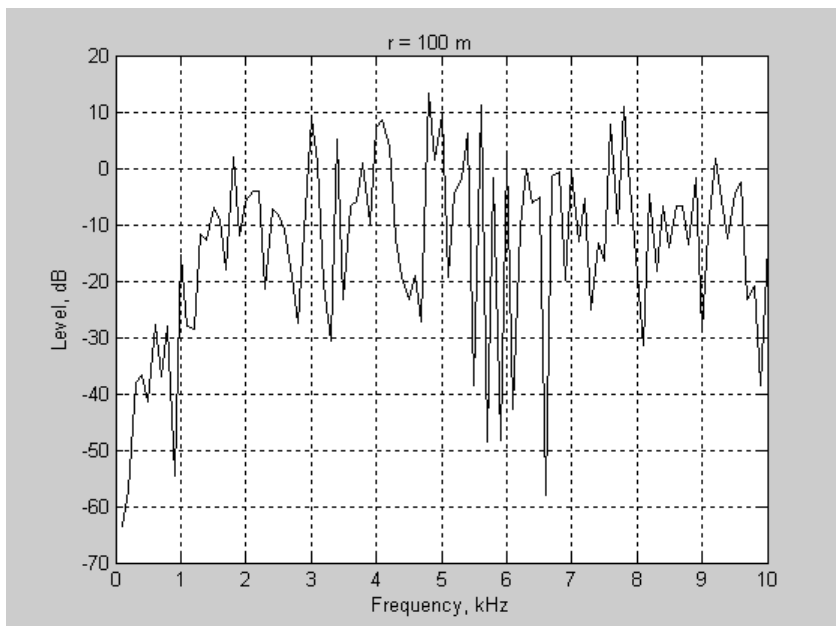


Рис.5. Расстояние 100 м

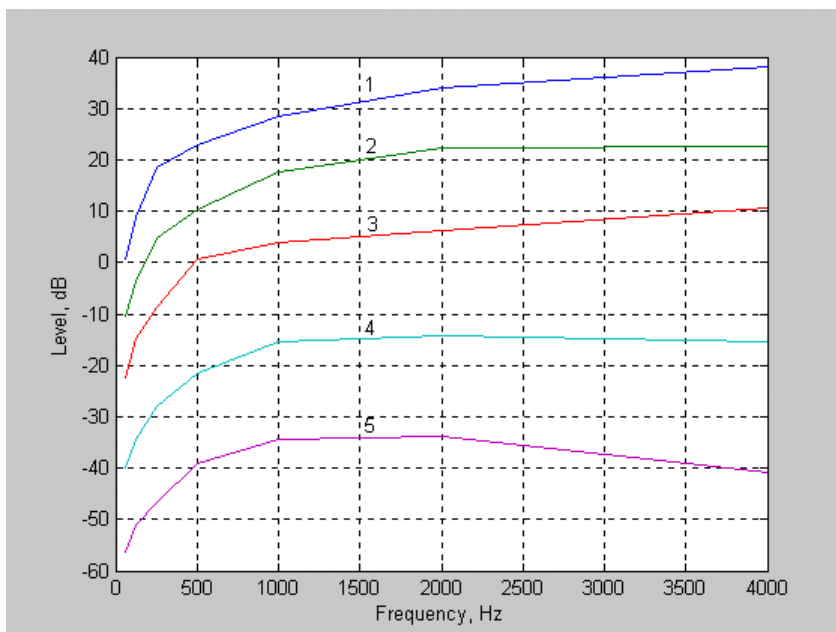


Рис. 6. Спектры в октавной полосе

- 1 – r = 0 м
- 2 – r = 10 м
- 3 – r = 20 м
- 4 – r = 50 м
- 5 – r = 100 м

Сферическое расхождение нормальной волны

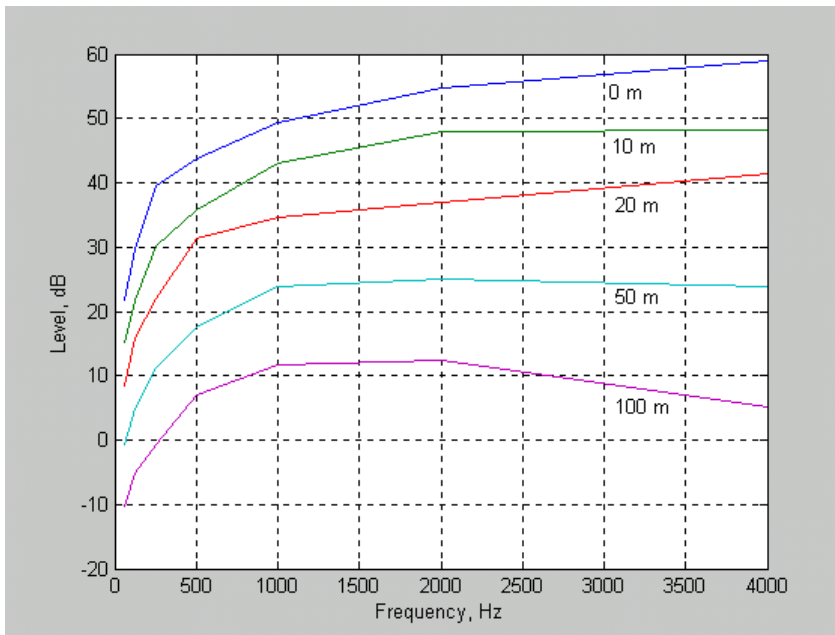


Рис. 7. Спектры в октавной полосе
Цилиндрическое расхождение нормальной волны

В следующих расчётах расхождение нормальной волны принято цилиндрическим ($\sqrt{1/z}$), что соответствует распространению звука в волноводе с абсолютно отражающими границами.

Исходный спектр имеет постоянную плотность в полосе частот от 10 до 1000 Гц.

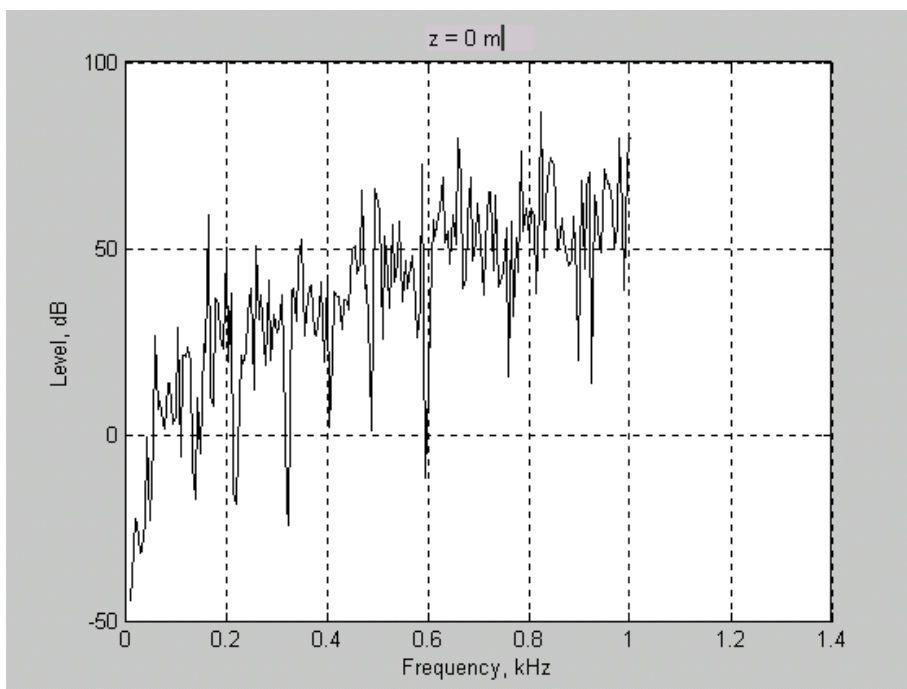


Рис.8. Спектр при $z = 0$ м

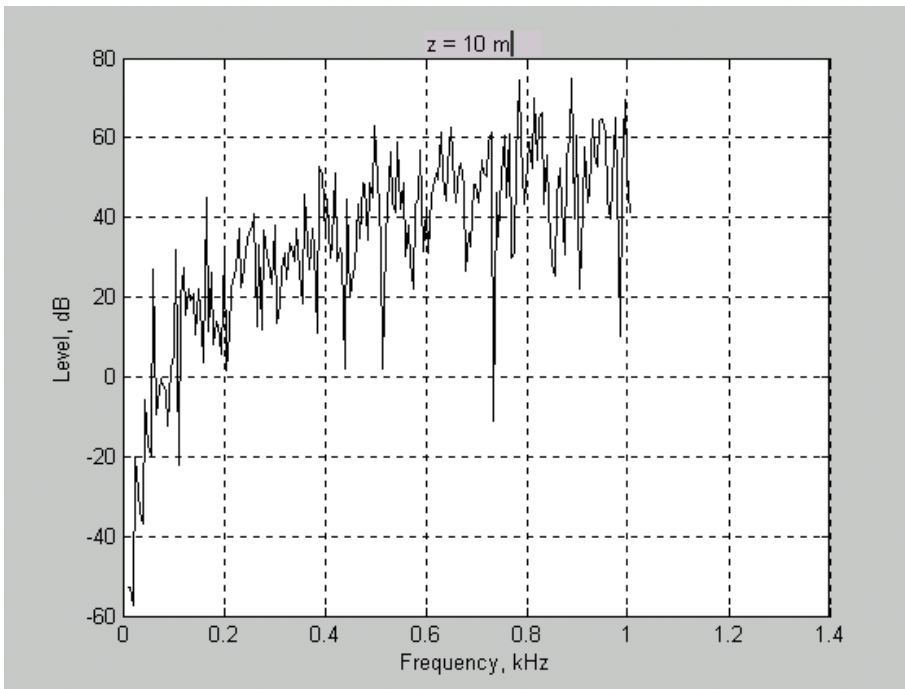


Рис.9. Спектр при $z = 10$ м

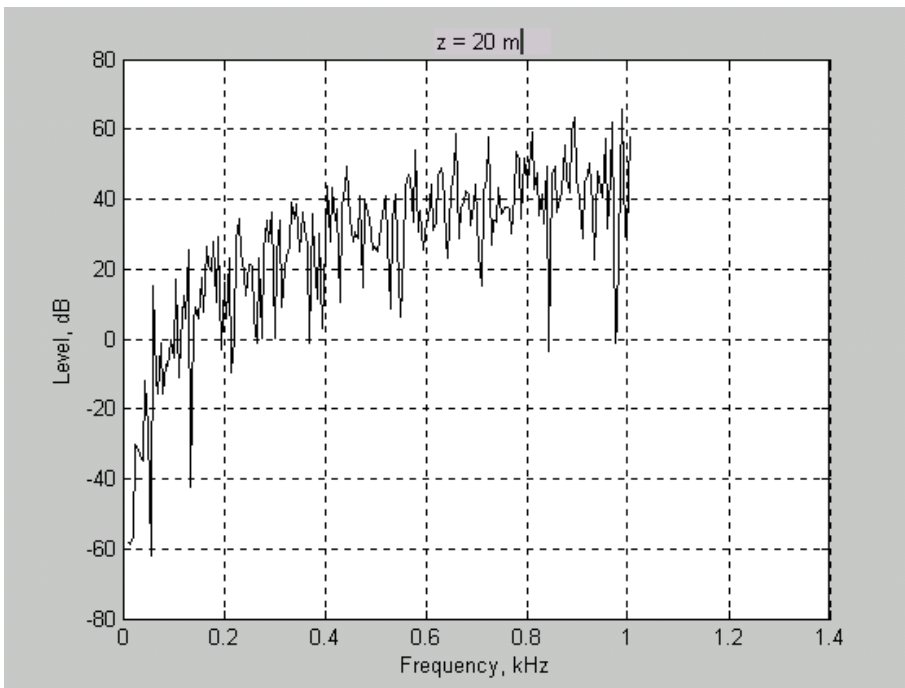


Рис.10. Спектр при $z = 20$ м

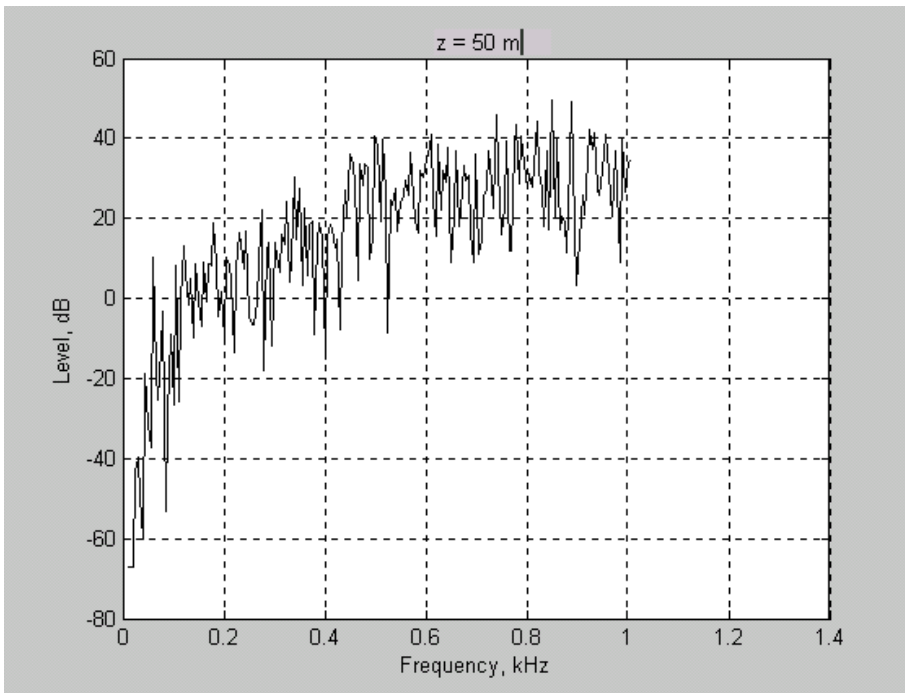


Рис.11. Спектр при $z = 50$ м

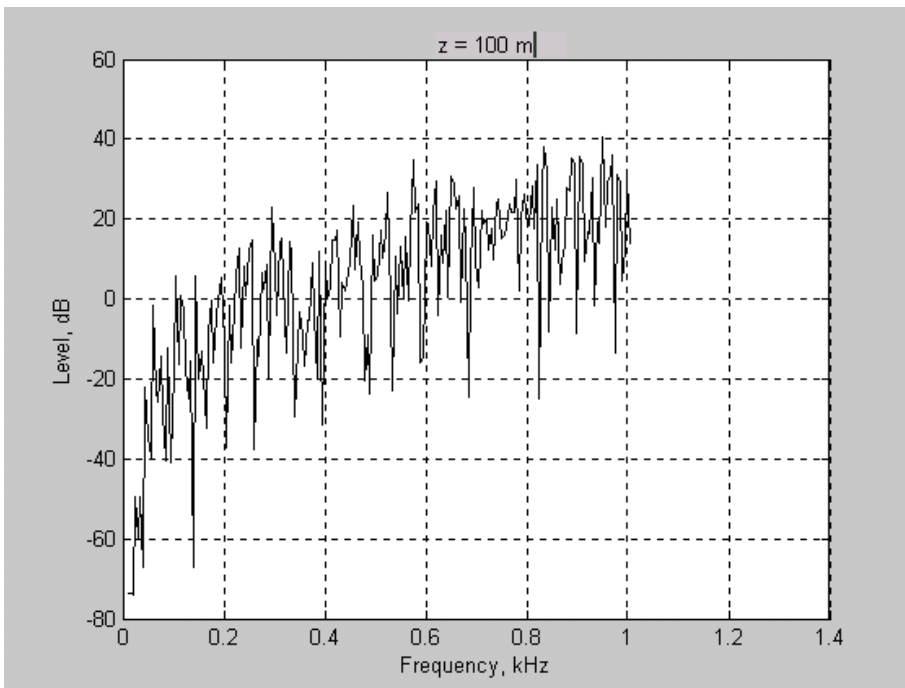


Рис.12. Спектр при $z = 100$ м

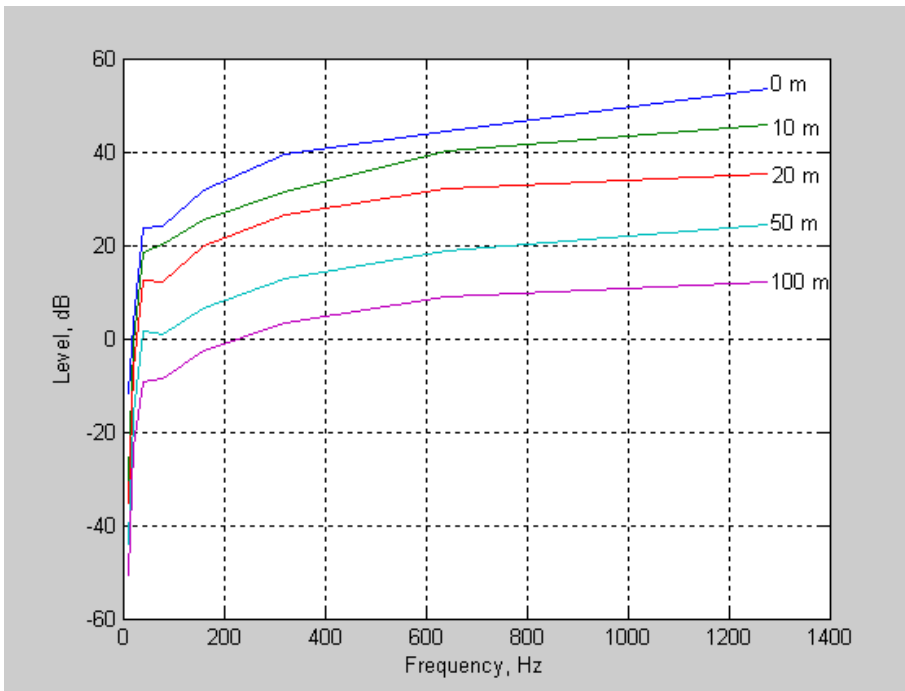


Рис.13. Спектры в октавной полосе. Масштаб линейный
Цифры на графиках – расстояние z в метрах

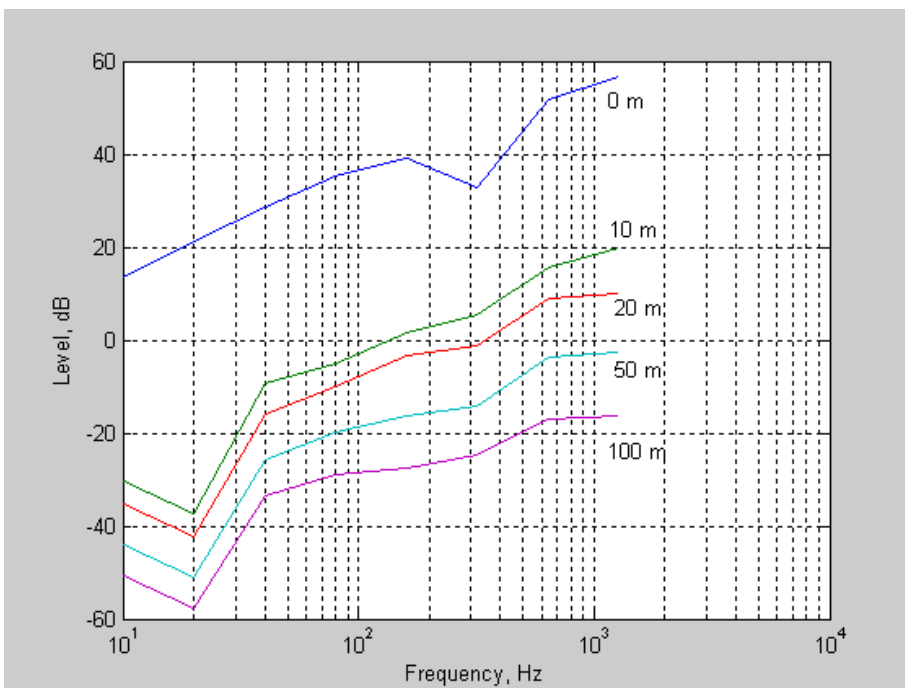


Рис.14. Спектры в октавной полосе. Масштаб линейный
Координаты источника: $x_0 = 7,5$ м (в середине тоннеля)
 $y_0 = 2,0$ м (высота)
Координаты приёмника: $x = 0,5$ м (от стенки тоннеля)
 $y = 1,0$ м (высота)